

农

机

译

丛

NONG-JI YI-CONG

2



1963

市科学技术編譯館

农机譯丛

1963年第2輯

开本 787×1092 1/16 印张 3 1/2 字数 110,000
1963年8月第1版 1963年8月第1次印刷
印数 1—2,300

汇编者：上海市科学技术編譯館
上海南昌路 59 号

印刷者：商务印书館 上海厂

总发行处：新华书店 上海发行所

经售处：全国各地 新华书店

編號：6044·138

定价：0.40 元

农机譯丛 1963年第二輯目录

农业动力

- 拖拉机及其他野行車辆的行驶易动性(二).....[美国] M. G. Bekker (1)
最新小型拖拉机(一).....[日本] 新井健助 (10)
农业拖拉机的发展趋势.....[英国] W. J. Foxwell
T. C. D. Manby (14)
提高輪式拖拉机的牵引性能.....[苏联] И. Б. Барский
В. В. Иванов (16)
绳索牵引机组技术計算的一些問題(二).....[苏联] В. В. Патуроев (22)
分配型燃料泵的液压調速器.....[苏联] Н. С. Резников (27)

农业机械

- 谷物联合收获机設計的展望.....[美国] P. Hebblethwaite
R. E. Arnold (28)
悬挂犁的动力測定.....[苏联] А. Д. Плишкин
П. Н. Бурченко (34)
根据不同土壤物理机械性质确定犁的牵引阻力問題.....[苏联] П. Г. Кулебаин 等 (39)
农作物病虫害和莠草防治机械型譜.....[苏联] И. Ф. Снеговский (40)
犁和电子計算机.....[美国] Ernest C. Carlson (44)
論适合高速耕作的犁体的形状.....[苏联] Л. В. Гячев (48)

試驗方法与仪器

- 冲击式土壤硬度計.....[日本] 土穗功雄 原波 (52)
莖杆的摩擦系数測定仪.....[苏联] Е. М. Моисеев (54)

工艺与材料

- 在农业机械制造中应用新型材料的經驗.....[苏联] П. М. Сапов (55)

农业动力

拖拉机及其他野行车辆的行驶易动性(二)

[美国] M. G. Bekker

III. 链轨和轮子的核算

土壤对拖拉机或其他野行车辆运动的驱动力和阻力，可用地面机械性质 (mechanical properties)、拖拉机及其他野行车辆的负荷和大小来表

示。只要这种性质了解以后，则拖拉机或其他野行车辆在任何土壤上的性能，都可预先根据已了解的土壤机械性质来决定。本文列举了一些方法，用土壤的特性来预先决定拖拉机或其他野行车辆的性能。

一、链轨和变形大的轮胎

对链轨式拖拉机或车辆而言，土壤驱动它们行驶的最大有效应力可由式(1)决定。同时，由于土壤被压缩所产生的车辆运动阻力，可从式(22)中求得。

1. 牵引力

图 13 表示野行车辆在塑性软土地面上行驶的受力情况。从该图可以看出，这种车辆前进所能供给的拉力、加速力和爬坡力所需的净有效牵引应力，可从该图的力的分析计算出来。即：

$$P = H_m - R_c = Ac + W \tan \phi$$

$$-\frac{2}{(n+1)(k_c + b k_\phi)^{1/n}} \left(\frac{W}{2l}\right)^{\frac{n+1}{n}} \quad (23)$$

式中： A ——链轨与地面的总接触面。

在一定的土壤上，车辆能爬上的坡度大约是：

$$S = \frac{P}{W} = \frac{Ac}{W} + \tan \phi$$
$$-\frac{2W^{\frac{1}{n}}}{(n+1)(k_c + b k_\phi)^{\frac{1}{n}}(2l)^{\frac{n+1}{n}}} \quad (24)$$

比值 P/W 常称为“附着系数”。方程式(23)与(24)可以得到比较正确的决定一般的下陷和坡度角。遇到下陷较深和负荷分配不均时，则方程式

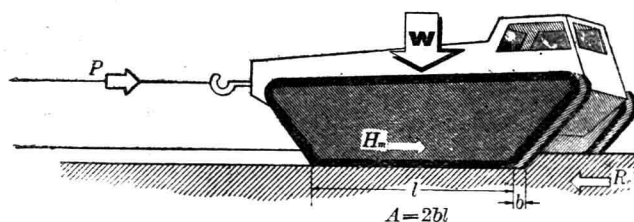


图 13 作用于链轨车辆的力的分析图

(23)与(24)将变成比较复杂的公式。

例题一：如图 13 所示，设链轨式车辆与地面的接触面积的尺寸为 $l=50$ 尺、 $b=10$ 尺。

假定重 $W=$

15,000 磅， $c=0.3$ 磅/尺²， $\phi=20^\circ$ ， $n=0.5$ ， $k_c=8$ 和 $k_\phi=3$ 。试决定该车所能行驶的最大坡度。

从方程式(24)，

$$S = 100 \left[\frac{2(50)(10)(0.3)}{15,000} + \tan 20^\circ \right. \\ \left. - \frac{2(15,000)^{\frac{2}{5}}}{1.5(8+30)^2(100)^3} \right] = 17.7\%.$$

因式(24)系由式(23)除以 W 得出，故该车牵引力为：

$$P = SW = 0.177(15,000) = 2,655 \text{ 磅}$$

假定低压轮胎能形成较大的地面接触面，则其性能可用同样的方法计算出来。

例题二：设例题一的野行车辆采用 8 个轮胎以代替链轨。这样，它将与地面产生 4 个长方形的地面接触面。这种接触面的尺寸是 $b=8$ 尺、 $l=12$ 尺，试求出其牵引力。

如图 14 所示，假定每一个轮胎所分布的负荷是相等的，则从式(23)，该车的牵引力为：

$$P = 8(8)(12)(0.3) + 15,000 \tan 20^\circ \\ - \frac{8}{(1+0.5)[8+3(8)]^2} \left(\frac{1,875}{12}\right)^{\frac{2}{5}} \\ = -13,370 \text{ 磅}$$

答数为负值，说明该车行驶的地面阻力超过土壤的驱动应力，因此，车辆不能前进。但若土壤是干的，则 $n=1$ ，于是

$$P = 5,630 - \frac{8(156)^2}{1.5(32)} = 1,600 \text{ 磅}$$

因此，这台車輛就可以前进了，而且还可以爬 10% 的坡度，因为

$$S \approx 100 \left(\frac{1,600}{15,000} \right) = 10\%$$

2. 土壤压缩

以上的例題計算，是假定每个輪子前的土壤都沒有事先被压过；即每个輪子与土壤的关系位置都如图 14 的第一个輪子一样。实际上，如果 $n=0.5$ ，这样的假定是欠正确的。由于土壤被前面的輪子压过以后，它的机械强度降低。因之，在这种情况下，前輪的阻力往往是小于最后一輪的。

如果土壤的 $n=1$ ，則土壤的机械强度一般不会被重复負荷所压坏。在这种土壤上，最后一輪受到的运动阻力将与前輪相同。

为了正确的求得土壤性能，在連續的用这些輪子进行試驗測定后，必須求得相应的 k_c 、 k_ϕ 和 n 的系統数值。并且每一个輪子需分別进行核算。

3. 过份的下陷

天气的变化，将使土壤的特性也产生变化。由于設計的拖拉机或其他野行車輛不能跟随土壤条件的变化而变化，故限制車輛行驶的土壤情况应予以测定。这样在設計时，就可考虑在天气变化产生土壤的最坏情况时，設計上所应采取的最有利的措施。

二、輪式拖拉机或野行車輛

图 15 表示一种鏈軌式拖拉机牵引一台輪式拖車在地面上行驶，該地面的土壤参数 k_c 和 k_ϕ 的关系可用下式表明：

$$k = \frac{k_c}{b} + k_\phi$$

拖車的輪胎是高压式，在軟土地面上行驶时的作用类似剛性輪。地面对剛性輪的运动阻力为：

$$R_c = \frac{1}{(3-n)^{(2n+2)/(2n+1)} (n+1) (k_c + b k_\phi)^{1/(2n+1)}} \times \left(\frac{3W}{D^{1/2}} \right)^{\frac{2n+2}{2n+1}} \quad (25)$$

这种輪子的下陷是：

$$Z = \left[\frac{3W}{(k_c + b k_\phi) (3-n) D^{\frac{1}{2}}} \right]^{\frac{2}{2n+1}} \quad (26)$$

于是作者把 k 的数值逐步增加，依次代入式 (23)，就可以求得該拖拉机的牽引力曲綫。同样，采用式 (25)，可計算出拖車的运动阻力曲綫。这两种

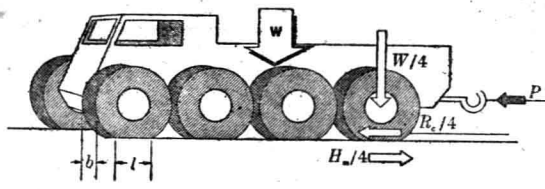


图 14 車輛輪子对土壤不同点上的負荷分布

曲綫有双曲綫的特性 (Hyperbolic Characteristic)，如图 15 所示。两曲綫的交点即表示土壤的最弱点——运轉的极限。

当拖拉机和它的拖車陷車以致底盤着地 (Bottom) 时，这种最弱的土壤条件就存在。把拖車輪胎視作剛性輪子，采用式 (26) 計算拖車的下陷，并采用式 (17) 或式 (18) 計算拖拉机的下陷，从而决定这种最弱点。假定在特殊的土壤条件下，下陷深度超过拖拉机或拖車的离地間隙 (Ground clearance) 时，这就是临界情况 (Critical Condition)。

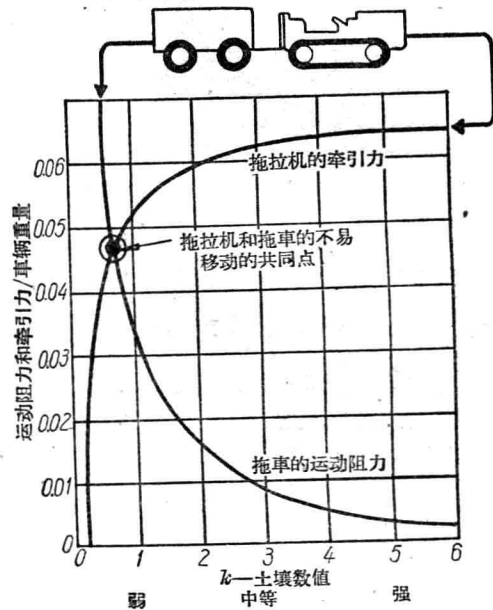


图 15 車輛不易移动点是牽引力曲綫和运动阻力曲綫的交点

虽然在場地上的断定仅仅是一种統計性的，但可在實驗室內求得正确的数值。图 16 与图 17 表示不同的輪子用方程式計算出来的数值的比較。鏈軌式車輛的情况亦相类似。

1. 輪胎变形

当輪胎对地面的作用有如剛性輪一样，以及当它与地面的接触面变为平而象鏈軌一样时，是分析决定輪胎的重要因数之一。可用一种輪胎和土壤相互关系的物理几何的模型 (Physico-geometrical model) 来解答这个問題，如图 18 所示。沿着尺寸 l_1 部分的胎面是平的，而沿着 l_2 部分的胎面则接近圓

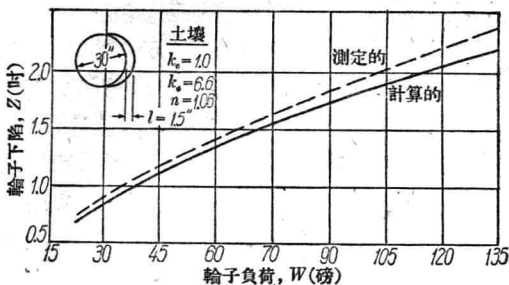


图 16 车辆的下陷和轮子负荷直接有关

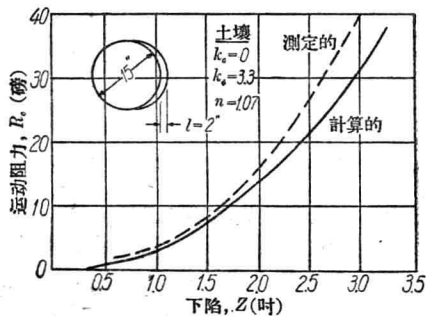


图 17 土壤下陷的变动影响运动阻力，
并且还影响车辆的特性

形。因此地面压力能足够的承担压力 p_g ，而 $p_g = p_i + p_c$ 。 p_i 是轮胎气压， p_c 为轮胎的刚度，是和轮胎的结构特性有关，如轮胎的层数、胎壁的厚度、塑胶纤维的方向与材料等。假若 $p_i + p_c$ 大于 p_g 时，则轮胎将保持它的圆形，相似于一个刚性轮子。这时 $l_1 = 0$ 。

如图 18 所示， R 是土壤压缩和轮胎变形所消耗的力 Wf_t 的总的运动阻力。作用在轮胎的弯曲部分的土壤压力 p_s ，可作为下陷的函数来计算。

低压轮胎的牵引阻力如图 16 所示：

$$R = \frac{[b(p_i + p_c)]^{\frac{n+1}{n}}}{(k_c + bk_\phi)^{\frac{1}{n}}(n+1)} + \frac{Wu}{p_i^a} \quad (27)$$

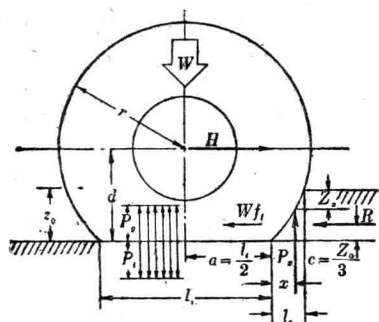


图 18 设负荷和轮胎气压正常时
轮胎在地面上运动的变形

式中： u 与 a ——和轮胎刚度有关的系数。

假若解方程式(27)，则每个轮胎的 p_c 、 u 和 a 的数值必须经过试验决定。用在硬地面上移动的、具有不同负荷与膨胀压力的轮子来进行核算。

2. 单位运动阻力

从试验求得的单位运动阻力可用下式表示：

$$f_t = \frac{u}{p_i^a} \quad (28)$$

这种阻力完全是由轮胎变形所产生的。当把和这种阻力相似的膨胀压力 p_i 描在坐标纸上时，则单位运动阻力 f_t 就产生一种轮胎变形阻力的标准曲线，如图 19 所示。方程式 (28) 是描写这种曲线的。图 19 表示 7.00×16 轮胎除去花纹所决定的试验资料， $u=0.12$, $a=0.64$ 。

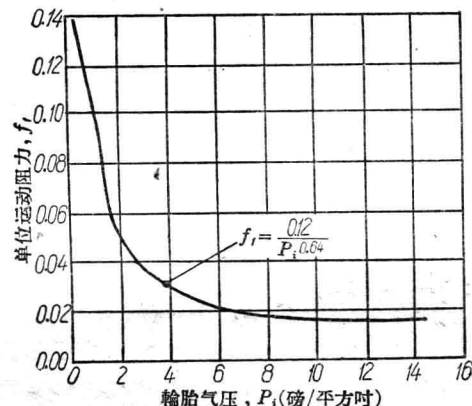


图 19 从标准轮胎变形阻力曲线
得到的单位运动阻力

3. 轮胎的刚度

当一定系列的负荷使轮胎气压变化时，则轮胎与地面的接触面积可以测量出来。如该负荷分别除以相应的轮胎接触面，则实际地面压力 $p_g = p_i + p_c$ 就可以决定，并可作为 p_i 的函数描绘出来，如图 20 所示。假若轮胎没有刚度，则 $p_g = p_i$ 。因为轮胎事实上是没有刚度的，所以所有测定出来的 p_g 数值都是在 $p_i = p_g$ 曲线的上部。直线 $p_i = p_g$ 和曲线 $p_g = p_i + p_c$ 间的距离即等于各该负荷的 p_c 之值。这样求得的线称为轮胎刚度的标准曲线。

图 20 表示测定 7.00×16 轮胎的刚度资料。从该图来看，在一定负荷下， p_c 的数值实际上为一常数。因此，所有这些必需的资料，都是对用式(27)来计算轮胎的牵引阻力所应用的。

4. 临界压力(Critical pressure)

图 19 所示的力和力矩的平衡方程式，表明轮胎

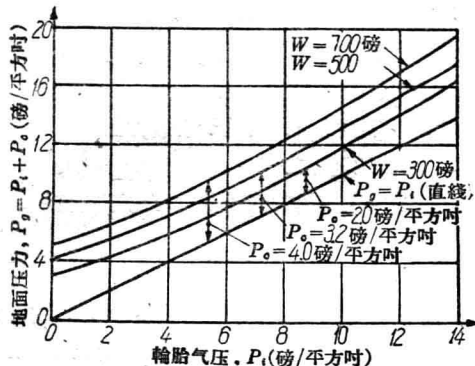


图 20 轮胎刚度是由轮胎气压和地面压力决定的

是有一个临界膨胀压力(p_i)_c的,如果轮胎气压超过它的临界气压时,则轮胎将表现为刚性轮胎。如果轮胎气压低于它的临界气压时,则与地面的接触面为一平面。这种临界气压为:

$$(p_i)_c = \left[\frac{W(n+1)}{\left(b - \frac{3W}{(3-n)b k D^{\frac{1}{2}}} \right)^{\frac{1}{2n+1}}} \right] \times \left\{ D - \left[\frac{3W}{(3-n)b h D^{\frac{1}{2}}} \right]^{\frac{2}{2n+1}} \right\}^{-\frac{1}{2}} - p_c \quad (29)$$

式中: $k = \frac{k_c}{b} + k_\phi$ 。

例題三：用变更土壤条件 k 和 n 的方法来描绘式(29),如图 21 所示。这是 7.00×16 重 500 磅的轮胎的典型曲线群。

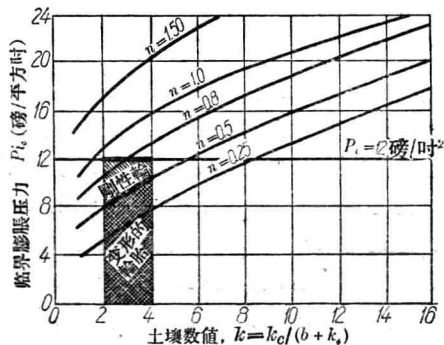


图 21 当轮胎的气压使轮胎成为刚性轮胎时,则这种轮胎气压就成为临界气压

假定正常的轮胎气压为 24 磟/平方吋,为增加野行车辆的性能起见,把轮胎气压降低至 12 磟/平方吋。如果场地的土壤数值为 $n=0.5$ 、 k 为 $2 \sim 4$,试决定低压轮胎在这种地面上的性能是否比高压轮胎为好。图 21 表示降低轮胎气压对这个特别的土

壤并没有帮助,因为轮胎继续表现为刚性轮胎。在土壤条件为 $k=2$ 时,轮胎气压必须低于 8 磟/平方吋;土壤条件为 $k=4$ 时,轮胎气压低于 10 磟/平方吋的范围内去求得轮胎的任何变形。因此,上述的特定土壤不能由降低轮胎气压来改善它的性能。如欲改善性能,必须降低轮胎气压在 12 磟/平方吋以下,并在硬土地面上使用才能达到。

5. 牵引力

已知轮胎的运动阻力和土壤的应力后,就可决定该轮胎的牵引力。但需注意,在特定的土壤地面上,轮胎是否表现出刚性轮胎的特性,抑或非刚性轮胎的特性,这是因为两种轮胎表现的计算方法不同之故。这种计算完全可以包括土壤所有的参数变化。尤其是对类似挤压的增加的运动阻力来说更是正确。

四个不同轮胎的“附着系数”的计算结果如图 22 所示。这些轮胎都可认为是刚性轮胎。从图 22 可以看出,虽然轮胎的尺寸从 11.00×16 增加到 11.00×18 和 13.00×19 ,对性能的改进并不太大。但若增加到 14.00×20 ,其结果就显著。土壤的条件和频繁的使用对性能的改进程度也很有关系。

虽然原来的假定不一定完全正确,因而影响绝对数值的正确性,但图 22 的计算仍能表示一种十分正确的解答。更正确的解答还有待于进一步的研究和分析。图 22 着重说明拖拉机或其他野行车辆在地面上行驶的计算不能有任何的绝对数值,并且每一个计算或解答都和所行驶的土壤的种类和情况有关。

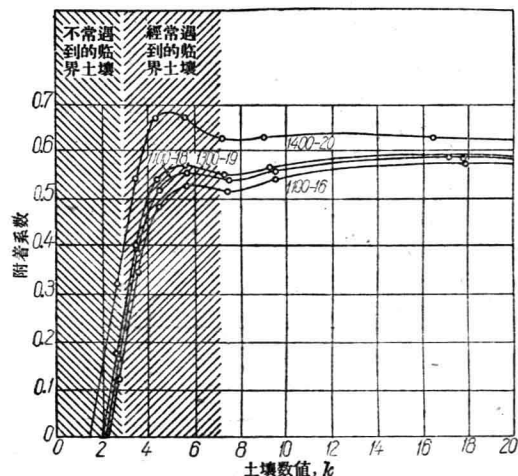


图 22 附着系数对经常遇到的临界土壤甚为重要

IV. 最好的性能和今后的趋向

目前，我們所能希望的决定野行車輛行驶性能改进程度的还只限于已經試驗过的地面上。但是，对这种試驗場地的土壤数值很少进行测定。此外，这种試驗場地也是很难根据定量的地质分析 (Quantitative terrain analyses) 和統計資料为基础来选择的。因此，我們很少得到潛伏地质內的真实平均特性。結果在特殊試驗的測定中，牽引力的任何最好的测量或其他性能因素都会遇到象附着模数 k_c 、摩擦模数 k_ϕ 、指数 n 、附着力 c 和摩擦角 ϕ 等这样的未知数的影响存在。

一、优良的性能

在土壤条件的差异不十分大的情况下，进行多次重复的試驗时，如果不进行土壤参数的測定，则很显著的不以为然的結果亦可能得出。在其他的土壤条件时，被試車輛的性能特点可能消失，或者甚至相反。这些关系可用图 23 表示。因为在土壤的不同土层的數值变化 (The Spectrum of changing soil values) 內，相同特性的試驗場地是知道得很少的，所以很难确定得出的不同結果，并且車輛的真实性能也不能断定。

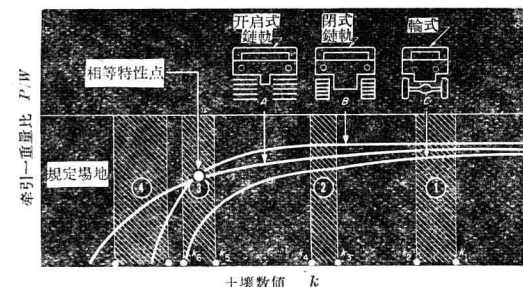


图 23 从特性曲綫相交点得到車輛相等易动性点

这种很难决定“标准”軟土地面性能的結果，已使农用拖拉机的試驗只好在硬土地面上进行。本文的前三部分已經表明，无论如何，在硬土地面上，牽引-重量比 P/W 对所有的車輛來說实际上都是一样的，这就是部分的說明了为什么多数拖拉机的外表看来都是类似的。

車輛能在一个規定的环境或場地产生良好运转，其所需的真实性能及其設計差別只有在选择能代表土壤全景 (Complete soil Spectrum) 的規定試驗場地时才能得到。所得的資料和图 23 表明一种

車輛在某一土壤上表現得甚为良好，但在另一土壤上的表現可能和另一种車輛相等或甚至不如。为完全适应規定环境或場地以內的土壤变化全景，一般是需要考慮到 4~7 种的土壤类型。

1. 土壤模型

为求出不同車輛在不同土壤上的行驶性能起見，应先做一些室內模型試驗。作者曾用 4 种不同的土壤做成 4 塊小型試驗場地，并把这些場地依次的放在一个长的試驗台上。这种小块土壤的标本是用浆土 (Bentonite) 与乙二醇混合起来的人造土壤。土壤 1 是硬而强度大，土壤 4 是机械强度差的类似湯漿一样的湿土 (Soupy, weak mud)。这种人造的混合土壤的特性如表 1 所列，可以复制，以供連續的試驗。

表 1 土壤數值

土壤 數值	土壤类型			
	1	2	3	4
k_c	10.00	2.00	0	0
k_ϕ	12.00	2.50	1.00	0.50
n	0.19	0.25	0.40	0.70
c	1.15	0.65	0.25	0.17
ϕ	0	0	0	0

由于上述三个部分演算出的方程式是供大型和小型的拖拉机以及野行車輛的設計应用，所以在實驗室內應备有具有任何特性的土壤类型，以供各种拖拉机或其他野行車輛的模型試驗，这甚为重要。这样，这些方程式才能进行室外計算的試驗和實驗室內小型的模型計算試驗。在进行室內小型的模型試驗中，对土壤的一致性，即先后試驗用的土壤性质一致甚为重要。这样才能得到正确的土壤变形和負荷的产生。實驗室內的复制土壤或室外試驗的場地，必須用上述的方法进行土壤本性 (Nature) 的測定。

2. 預定的性能

从本文第二和第三部分的考核車輛参数的方程式中，可以得出一种通用的方法，以預定各种形式的野行車輛結構的性能。这些方程式是用电子計算机进行計算的。計算的对象不仅是核算輪子和鏈軌，

并且用初步的方法以对整个拖拉机或其他野行车辆的各种结构形式进行比较。

例如，在用电子计算机演算过程中，使 k 的数值变更，就可描绘出具有固定重量和 4 个、6 个或 8 个小直径轮子、链轨或 8 个大直径轮子的一些车辆的 P/W 曲线，如图 24 所示。这些曲线有份量地说明采用多目的轮子或链轨是有利的。在 $k \geq 0.5$ 的土壤地面上工作时，这些曲线还表明在这种情况下，大的轮胎车辆比链轨车辆还要优越。

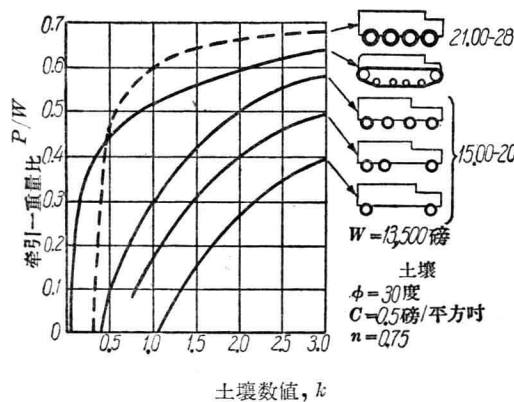


图 24 用以预定性能的车辆分析的近似方法

这些结果已经导致出一些车辆行驶易动性的核算方法。这些核算的结果将产生比较通用的定量资料。用这样的办法，车辆在越野工作的机械行驶易动性，可认为是运转可靠的各种机械性能。这些机械性能是行驶的速度、燃油消耗量、载重容量、牵引力和重量比等。

例如，假定有三种野行车辆 I、II 和 III，和三种特定场地 (Terrains) B_1 、 B_2 、及 B_3 。特定场地的号码表示该场地的典型横断面，并且根据样品的技术要求和土壤运动力学选择和定下的。

假使在规定场地内，所得到的试验资料能代表同样的特定场地分布，或假使应用理论分析，则每一种性能可采用号码来表示。例如，车辆 I 可在特定场地 B_1 上产生速度 $(V_{B1})_I$ 和在特定场地 B_2 上产生速度 $(V_{B2})_I$ ；同时车辆 II 的速度为 $(V_{B1})_{II}$ 和 $(V_{B2})_{II}$ 。这些数值可作为速度排阵列表如下：

车 辆	f—排阵			v—排阵			p—排阵				
	特 定 地 区			特 定 地 区			特 定 地 区				
	B_1	B_2	B_3		B_1	B_2	B_3		B_1	B_2	B_3
I	15	20	25	20	15	10	2	2	2	2	1
II	12	15	25	15	15	18	3	3	3	3	2
III	8	17	15	10	17	20	4	4	4	4	3

车 辆	特 定 场 地		
	B_1	B_2	B_3
I	$(V_{B1})_I$	$(V_{B2})_I$	$(V_{B3})_I$
II	$(V_{B1})_{II}$	$(V_{B2})_{II}$	$(V_{B3})_{II}$
III	$(V_{B1})_{III}$	$(V_{B2})_{III}$	$(V_{B3})_{III}$

用同样的方法，可把拖拉机或车辆能载的负荷、燃油消耗量、拖曳力、下陷、涉水程度、作用范围、保养时间和成本等排阵制表。

把所有以上这些排阵的表格蒐集起来，表示机械的行驶易动性定义的参数式样。而且这些排出的表格可用作一种简单的全面解答。

例如，用简单的解法，假定车辆 I、II 和 III 在特定场地 B 上工作的平均耗油量，用数字表示在下列的油耗经济排阵表内：

车 辆	特 定 场 地		
	B_1	B_2	B_3
I	(6)	10	15
II	10	(5)	(8)
III	7	8	10

从上表，为求得车辆在整个这种特定场地内工作所减少的总的油耗量起见，必须把在该特定场地上工作的油耗不经济的车辆型式选出不用。

假定每个车辆在每个特定场地 B_1 、 B_2 和 B_3 所行驶的距离保持不变，则最好特性的车辆将是总耗油量最小的一种。如用括弧把上面的耗油量排阵表里的最小耗油数字括出，就可以看出车辆 I 在特定场地 B_1 ；车辆 II 在特定场地 B_2 ；车辆 III 在特定场地 B_3 ，产生 $19(6+5+8)$ 个单位的最小的耗油量。如选择任何其他型式的车辆，将产生较大的耗油量，最大可达 $35(10+10+15)$ 个单位。因此，只有前两种型式的车辆可以选用于该特定地区，第三种型式应当不用。

把这样的分析扩大，假定燃油消耗量 f 、速度 v 和能载的负荷 p 的排阵列表如下：

表2 計算

B_1	B_2	B_3	f	v	p	vp	vp/f
I	I	I	60	13.8	1	13.8	0.23
I	I	II	60	17.4	2	34.8	0.58
I	I	III	50	18.0	2	36.0	0.72
I	II	I	55	13.8	1	13.8	0.25
I	III	I	57	14.4	1	14.4	0.25
II	I	I	57	12.9	1	12.9	0.23
III	I	I	53	11.2	1	11.2	0.21
II	II	II	52	15.1	2	30.2	0.58
II	II	I	52	12.9	1	12.9	0.25
II	II	III	42	13.5	3	40.5	0.96
II	I	II	57	15.1	2	30.2	0.53
II	III	II	54	16.6	2	32.2	0.61
I	II	II	55	17.4	2	34.8	0.63
III	II	II	48	13.5	2	27.0	0.56
III	III	III	40	14.4	3	43.2	1.08
III	III	I	50	11.6	1	11.6	0.23
III	III	II	50	14.0	2	28.0	0.56
III	I	III	43	13.8	2	27.6	0.64
III	II	III	38	13.3	3	39.9	1.05
I	III	III	47	18.9	2	37.8	0.80
II	III	III	44	17.1	3	51.3	1.16
I	II	III	45	18.0	2	36.0	0.80
II	III	I	54	18.3	1	13.3	0.25
III	II	I	48	11.2	1	11.2	0.23
III	I	II	53	13.5	2	27.0	0.50
I	III	II	57	18.2	2	36.4	0.64
II	I	III	47	16.3	2	37.6	0.69

在这个例题的测定中，每个特定地区只能选择出一种车辆型式，而且当这个车辆走到地头时，应把它的负荷移到另一台车辆上。假定每个特定场地所行驶过的路程是相当的长，并且负荷卸下和装上是操作得很快的话，这样将是一个可以接受的和经济的解答。总的 $3^3=27$ 个组合应进行考虑。每个车辆在每个特定地区所走过的距离 l 都是相等的，而且它们的平均速度 v 可相应的计算出来。

因此，车辆 I 在特定场地 B_1 ；车辆 II 在特定场地 B_2 和车辆 III 在特定场地 B_3 的行驶时间是：

$$t = \left(\frac{l}{15} \right) + \left(\frac{l}{15} \right) + \left(\frac{l}{20} \right) = 55l/300$$

速度是：

$$v = \frac{3l(300)}{55l} = 16.3$$

同样，可把 27 种组合的其他项目计算出来。

项目 vp 是表示车辆的能载负荷的交付速度， vp/f 表示每一定量的燃油消耗以后的能载负荷交付速度。后者应是最大值。

在上述的例题里，假定每一个车辆因为受特定场地和车辆型式的适宜组合不太多的限制，承担最小的能载负荷。例如，能载负荷 $(p_{B1})_I$ 、 $(p_{B2})_{II}$ 和 $(p_{B3})_{III}$ 的数值分别为 2、4 与 3。则最小数值 2 就选为最好的运转。

从这个例题，可以得到最优良的单位时间卸货量的是车辆 II-III-III 或 II-II-III ($vp=40.5$) 的组合；而每单位燃油消耗量的最大能载卸货量的最经济的运转也是 II-II-III ($vp/f=0.96$) 的组合。最好的速度则是 I-III-III 的组合 ($v=18.9$)。

“易动性最好的”车辆的最后选择，依据什么是最重要的衡量——燃油经济性、交付速度抑或运转速度，如采用简略的排阵和运转数值，而不用机械易动性的定义，则可在以上这些因素中，容易地选择出最好的易动车辆型式。

上述的一些例题证明，有许多的衡量标准，可以选作为易动性的全部定义 (Overall definition) 的内容。它们还证明易动性的这些相互的价值是与完成得好有关的。另外，它们证明这些价值只有车辆在特定场地以内使用才有意义。

二、将来的趋势

本文四篇文章系列的介绍了这些分析方法的应用，以致导出许多有兴趣的结论。例如，过去几十年来，总认为在道路上行驶的车辆和野行车辆，对道路或地面的“附着系数”(拉/升 比)是不会变更的。

图 25 表示过去 30 年内测定的拖拉机牵引力是它的重量的函数。这很明显的说明在 1924~1954 年期间都认为牵引力是不变的。

而且，车辆对地面的压力是随着一个无文字的定律 (An unwritten law) 而变更的，如图 26 的虚线所示，这是初步求得的近似值。在近代的车辆概念中，这个定律已绝对的存在。它使地面的压力增加胜过车辆的重量。这就是为什么一个重量轻的拖拉机对地面上的压力很容易做到较低的地面压力，譬如说每平方英尺 2 磅。但如不是特殊设计的标准型式的重型拖拉机，就不能达到这样低的地面压力，这些情况，似乎表明现代拖拉机或野行车辆设计的趋势，

已經達到前进途徑曲線以外的水平。如果我們仍然按照原來的途徑，是不能希望有根本的變化。

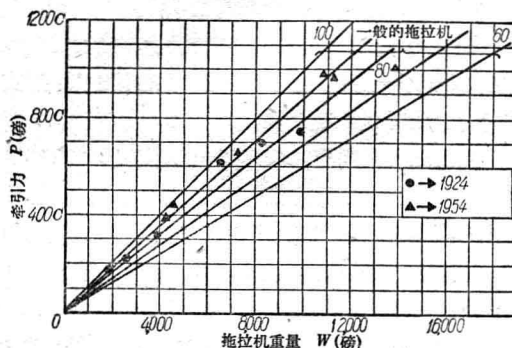


图 25 在近 30 年中认为牵引力是拖拉机重量的函数的观念并没有什么变更
(假定土壤 $c \approx 1$ 磅/平方吋时, $\phi \approx 35$ 度)

假若野行車輛是象火車一样的几个連串起来的自動車，則地面壓力將為常數，而且和車輛的重量无关。这种地面壓力可以象單个的輕型車輛的地面壓力一样低。

上面这个理想叫做“列車概念”，并且已經考慮了好几年。一个唯一的这样的車輛已經在 1960 年制造出来，这是一个两辆车的列車。前面一个自動車是鏈軌式拖拉机一样的牽引机，后面牽引着一个鏈軌式的長拖車。它的总重量是 45 吨，但只产生每平方吋 2 磅的地面压力。

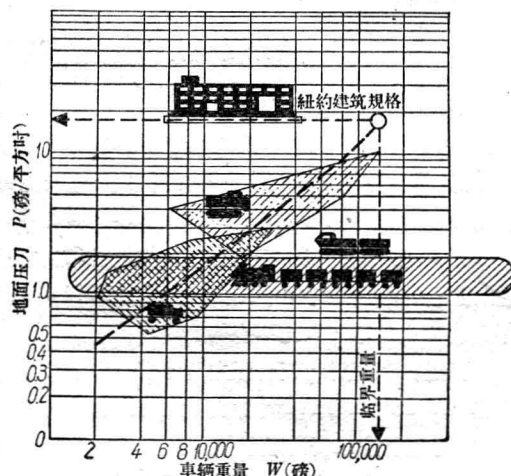


图 26 虛線表示車輛重量變更的規律

另外一种新的研究是采用大直徑輪子的許多有利条件。研究輪胎的型式，說明許多新型輪胎是越野行駛所需要的，并且在公路上行駛的輪胎，近代发展趋势是走向小直徑和闊輪幅，这是和野行車輛輪胎

的需要不一致的。具有較小的輪幅闊与直徑比的輪胎，比現用的輪胎是更有利于野行車輛的行駛。这一个理由上面已經介紹过了。

为改进輪胎的性能起見，增加輪胎闊度和直徑所得出的結果数值是不一致的。用一系列“相当”的輪胎在一个均匀的地面上試驗，可以計算出它們所產生的 H/W 或 P/W 值。在沙壤土 (Sandy loam) 上試驗的这种計算結果如图 27 所示。輪胎的負荷 W 是 2,500 磅，假定的 P/W 比值是 0.55。計算表明，这一系列的輪胎按照这些假定和需要，則它們的輪幅闊与直徑有如下方程式的关系：

$$b^{0.87} D = 665$$

式中： b —— 輪胎的輪幅闊度；
 D —— 輪胎的直徑。

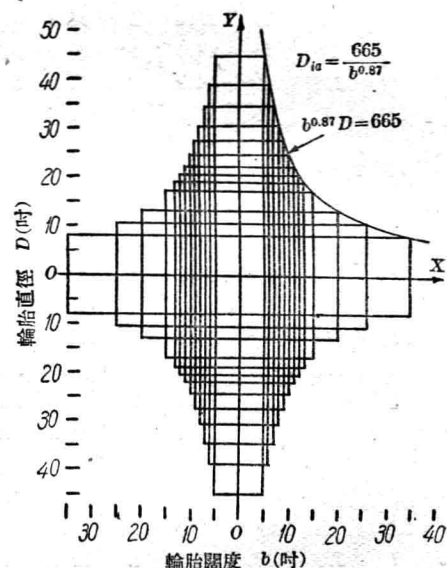


图 27 輪胎闊度-輪胎直徑的曲線群

因此，从上面的公式，設計者就能直接肯定的選擇出相當的輪胎型式。无论如何，在硬土层上的軟泥土 (Soft mud resting in hard pan) 的深层上運轉，這樣的大直徑、狹輪幅的輪胎表現得比小直徑、闊輪幅的輪胎为好。表格和上面引用的同样方程式可以演出，以适应其他各种土壤。

在最近的将来，加强土壤运动力学 (Land-locomotion mechanics) 的研究似乎是必不可少的。一般地說，我們所需要的是更合理的采用适用于各种环境的越野車輛的型式-大小-負荷內容。这种要求尽可能从研究中得来。

对越野運轉来讲，現在部分的单是工程方面的

改进提高，将和环绕车辆和土壤关系的科学的研究同时并重。本文的目的已经证明，仅仅象这样一个研究，就能为开展合理的土壤运动学有所改进。

三、将来研究的关键

本文以上建议的车辆易动性的各项原理表明，如果要实行将来的改进，则试验研究是必不可少的。这个事实将导致出研究的计划和组织上的许多结论。第一，一个越野运输研究室的组织，应分为两个部分：(1)整个车辆概念的研究；(2)车辆组合部分或部件工程的研究 (Vehicle-Component engineering)。

第二部分的研究人员应进行适合长远范围的土壤运输所需要的材料、工艺 (process) 和组合部件的工程上的试验研究，使适合长远范围的土壤运输所需要的条件，和当前或最近将来的设计新成就结合起来。

第一部分的研究人员应注意新兴的和广泛的特定地区车辆系统的研究。它们必须进行长远范围的计划，而不能为当前的需要所限制。

因为研究整个车辆的结构型式和设计，是要比组合部件的研究普遍些，不单过分强调局部近似的偏见，尤其是对长远范围的研究计划更应如此。将来，如果没有车辆本身的事先客观概念的反映，一个新型车辆抽象概念的工程体系是不易知道的。这就是什么叫做设计分析和概念分析(Concept analysis)之间根本不同的地方。因为先有客观概念，然后才根据这些客观概念从理论上和试验室里进行分析。于是只有设计者才能根据工程技术上的观点来判定这种概念是否可以实现。

因为有些概念从一般的设汁经济来看是没有疑问的，是应当淘汰的，但这应从组合部分的分析来核算或审核决定。这样就可以肯定理论上的理想的可能性和实用性。而且，理论和实际之间的标准化和一定程度的合理判断也是需要的。

这样的一种研究和学习的工作，最后还需由工程技术部分的人员进行全面设计的分析，并且还需考虑到从运转易动性的观点来进行复核的反面意见。这种复核意见应重新交给概念分析部分的人员进行复核。因此，易动性的核算将使可以接受的概念数目逐渐缩小而达到最后的合理决定。这样的进行方法如图 28 的研究行动图表所示。

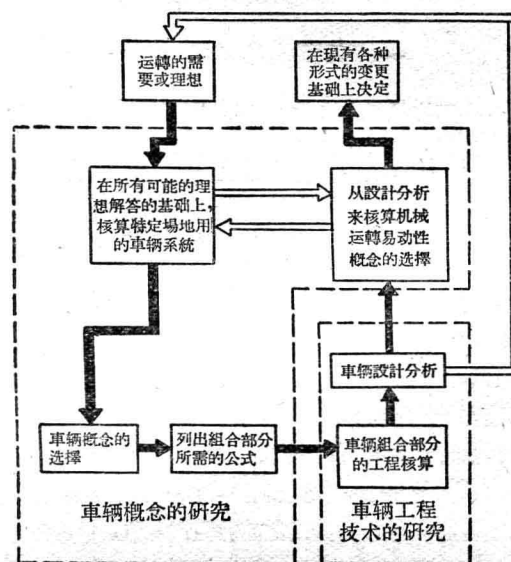


图 28 研究行动图表

值得注意的是概念的核算进行了两次：(1)在一个普通的特定地区进行车辆系统的分析时；(2)一个更特殊化的车辆系统设计分析完成以后。这样可使设计者能选择这些与理论和实际没有矛盾的概念来进行设计。

第二次概念核算的主要目标是选择出对运转的易动性能最好的概念。这样的工作使车辆的研究和发展成为一个整体。这个组织应放在现场上去进行研究。(完)(参考文献从略)

罗高华译自《Machine Design》1960 年

第 32 卷第二、第三期

内燃机快报 (征求订户)

《内燃机快报》系农机部内燃机研究所主编，是一种以报导为主、资料为辅的刊物，以刊载国外有关内燃机工业的发展水平与动向，着重阐述新的理论、设计、试验研究、测量技术与设备以及新技术的运用等，适合内燃机专业的科研、生产、教学等单位的有关人员阅读。

《内燃机快报》定于今年月 10 创刊，每月两期，每期定价 0.05 元，由上海市邮局报刊发行处发行，各地邮局(所)现已开始预订，欢迎读者直接向当地邮局办理订阅手续。

最新小型拖拉机(一)

[日本] 新井健助

I. 小型拖拉机在日本的发展史

一、外国拖拉机的使用

小型拖拉机在日本的使用，是从第一次大战后开始的，当时农村中的劳动力被城市工业急剧地吸收，因此感到不足，故工资猛涨，迫切要求机械化，因而从欧美进口了下列几种小型的拖拉机。

(1) 比猛式 美国制，牵引型，发动机是5马力直立单缸四冲程汽油机，附属作业机有洋犁、耙和中耕机；

(2) 尤利他式 美国制，牵引型，发动机是4马力直立单缸四冲程汽油机，附属作业机有8吋洋犁和圆盘耙(12吋共8个)；

(3) 西马式 瑞士制，回轉型(用彈簧鋸齒)，发动机是5马力V型二缸四冲程汽油机。

这些型式的拖拉机，在日本試用未能收到預期的效果，其主要原因是：日本地块狭小，每戶的耕作面积較少；这些拖拉机是为旱作而制造的，在水田上使用不够輕便；价格太貴；使用技术不够熟练；发动机容易过热不能連續运转；耕耘鋸齒上易纏草；耕深9厘米时即不能在粘重的水田内工作等等。

因此，靠外国进口的小型拖拉机来实现耕耘、碎土等作业的机械化，沒有获得成功，但这对日本农业的机械化有很大的促进作用。

二、驅动型耕耘机的发展

1923~1924年間，利用当时已普及了的2~3/馬力的固定式农用小型水冷低速石油发动机作为动力，以西馬式回轉型小型拖拉机作为样机，試制成日本的耕耘机。这种回轉型(驱动型的一种)耕耘机在試制初期缺点很多，后經逐漸改良，在1929~1930年間已进入实用阶段。这种耕耘机的制造是以麦田的中耕作业为主要目的，不能进行深耕的原因如下：利用当时已普及的一种发动机作为动力，馬力过小；回轉鋸齒的形状不适宜(如图1所示，这种鋸齿称作普通形鋸齒)；在多草或撒布堆肥的地方容易纏草；在表面較松軟的水田上，車輪易于下陷。

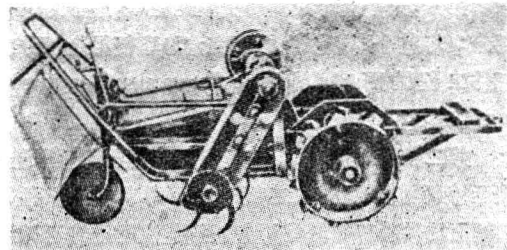


图1 具有普通形鋸齒的回轉型耕耘机
(第二次大战后制)

为了弥补这些缺点，在1936年利用了图2所示的曲柄机构，創造了用鎬掘土的耕作方式的曲柄型耕耘机，这种型式的耕耘机与回轉型耕耘机相比，所需功率較少，也不会纏草，且能进行深耕。

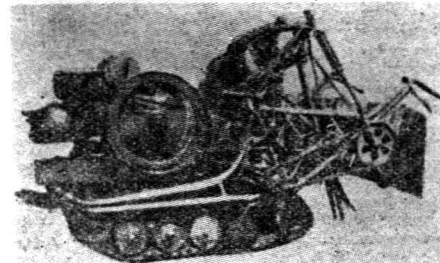


图2 曲柄型耕耘机(履帶式)

1939年又創制了用螺旋刀齿切碎土壤的耕作方式的螺旋型耕耘机(图3)。

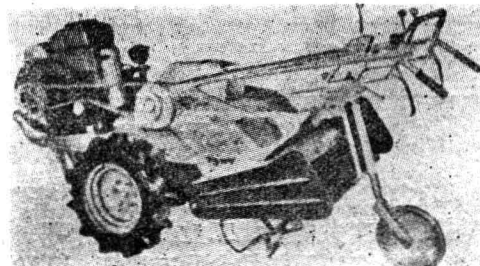


图3 螺旋型耕耘机(輪式)

曲柄型和螺旋型都有用履帶作为行走装置的，这样使能在松軟的湿田上进行工作，很适合于日本

的农业，因此出現以后逐漸得到普及。中日戰爭爆發后，因石油供应緊張，制造了以电动机作为动力的电力耕耘机。这种电力耕耘机振动小，起动和停止方便，故障少；但必須有配电設设备，运行的范围受到限制，在水較多的水田上易触电等。后来因戰爭緊張，材料缺乏，耕耘机的生产也停頓了。

战后，生产恢复，耕耘机的性能也逐漸改善，特別是在1950~1951年間，回轉鋸齒的形状改进，創制了鉈刀形鋸齒，这使回轉型的纏草問題得到了消除。另外由于車輪的改良，在松軟土地上也能进行耕作，因此輪式回轉型耕耘机很快地推广了。另一方面因为鉈刀形鋸齒比普通形鋸齒需要較大的功率，2~3馬力已感不足，所以逐漸地提高馬力，現在回轉型耕耘机一般是5~8馬力，大的有达10~13馬力的。

曲柄型耕耘机虽然工作性能比其他型式为优，但由于机构上問題較多，构造复杂，价格高，耐久性差等，現在几乎已不再生产了。

螺旋型和曲柄型的行走装置曾采用履帶式，但由于耐久性差，价格高，現已改为輪式。

三、园艺型拖拉机的发展

上述的耕耘机可能进行的作业主要是耕耘、碎土。二次大战后，对农业机械化的要求有了发展，仅仅耕耘作业已感不足，因此出現了具有“通用性”的园艺型拖拉机（图4）。所謂“通用性”当初是指能进行耕翻、碎土、旱田中耕、运输等作业。这种拖拉机

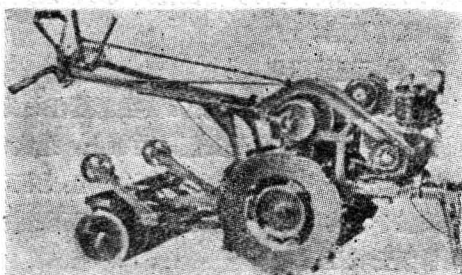


图4 日本制造的园艺型拖拉机

用的是較輕的风冷式发动机。

园艺型的出現給驅動型带来了技术上的改革，使驅動型也能牽引作业机具及拖車等进行牽引作业；而园艺型因水田作业的特殊要求，也有能裝上回轉耕耘部件的，于是这两种型式的差別逐漸縮小。

四、中耕型拖拉机的发展

前述的拖拉机因不能滿足中耕作业要求，每年的使用时间有限，且对一般农家來說价格也太高，于是曾試制了独輪式和单履帶式的通用极小型拖拉机。

在1952~1953年間，偶尔从美国进口了一种构造简单、价格便宜、重量也輕的美利耕耘机，发动机是2馬力的风冷高速单缸四冲程汽油机。1955年日本开始生产这种拖拉机，并且很快地得到了推广。

这种中耕型拖拉机在初期构造很简单，沒有变速装置和轉向装置，作业机具联接在輪軸上。但这不能滿足作业的要求，因此把畜力用日本犁改良后裝上試用，以后又裝上中耕器、碎土滾子、耙和拖車等作业机具，构造漸趋复杂，重量也增加，已与园艺型拖拉机相类似。这样中耕型拖拉机原有的特点逐漸減少，因此又开始生产与原先中耕型相类似的2~3馬力的以中耕作业为主的超小型拖拉机。

五、小型拖拉机的普及情况

小型拖拉机在1926年开始推广以来，到1950年末增加到1万3千台，到1960年达到51万台。小型拖拉机在日本获得迅速普及的原因很多，其中之一是1955年后通用性的小型拖拉机开始生产，这种拖拉机对日本的农业規模非常适合。

从表1中可看出日本农用拖拉机生产的台数，以4馬力以下的牵引型（包括中耕型）最多，其次便是42厘米以上的驅動型拖拉机。1959年以后履帶式一台也沒有生产，因为履帶式主要用在曲柄型和螺旋型上，而这种型式的拖拉机已不再生产了。

表1 农用拖拉机的生产台数

年 份 型 式	牵 引 型		驅 动 型		履 帶 式	乘 用 型	总 計
	4 馬 力 以 下	4 馬 力 以 上	42 厘 米 以 下	42 厘 米 以 上			
1958	129,085	13,717	24,157	63,138	157	—	228,254
1959	106,534	49,222	29,342	63,010	—	69	248,177
1960	107,103	72,641	42,668	76,565	—	452	299,429
总 計	342,722	135,580	96,167	200,713	157	521	775,860

II. 小型拖拉机的分类

一、根据作业机具和耕耘装置分类

1. 牵引型

带犁、耙、中耕机等牵引机具进行牵引作业，是一种通用的拖拉机（也有将牵引型再分成园艺型和中耕型两种的）。

2. 驱动型

在驱动型拖拉机的后部装着驱动耕耘装置，同时进行耕耘和碎土作业，多为专用拖拉机。驱动型拖拉机又可分作回转型、螺旋型、曲柄型三种。

3. 牵引-驱动兼用型

这种型式的拖拉机，具备牵引型和驱动型两方面的特性，最近发展很快。

二、根据行走装置型式分类

1. 轮式

III. 各种型式拖拉机的特点

一、驱动型耕耘机的特点

在驱动型耕耘机的后部装着耕耘装置，拖拉机一面前进，一面由发动机驱动以进行耕耘作业。因为它同时进行碎土作业，所以效率非常高，对于耕作时间较短的地区，尤其有利。在重粘土地区，用犁耕翻后因土易干硬，再用圆盘耙或钉齿耙进行碎土较为困难，用驱动型耕耘机则较容易。如果要求土质较细时，用驱动型耕耘机，特别是其中的回转型最为适宜。

驱动型的缺点是有时碎土过细，土的翻转情况不好，容易再生杂草。另外深耕的可能性不大；而深耕是最近对稻谷增产的一项主要措施。这种拖拉机因为是耕耘专用拖拉机，所以不适用于田间管理和运输作业。

各类驱动型拖拉机的特点如下：

1. 回转型耕耘机

在回转型耕耘机上，水平地安装着回转轴（即耕耘轴），围绕着轴安装着10~20根鋸齿，轴每分钟旋转150~300转。随着轴的旋转速度、前进速度、鋸齿的种类和数目等的变化，碎土的程度也不同。这种驱动型耕耘机翻土较差，亦容易缠草。

轮式有独轮式、双轮式、三轮式和四轮式等种类，其中独轮式已很少。

2. 履带式

履带式有单轨式和双轨式两种，推广数量逐渐减少。

三、根据操纵的型式分类

- (1) 乘用型；
- (2) 步行型；
- (3) 乘用和步行兼用型。

四、根据发动机马力分类

- (1) 大型——6~10马力；
- (2) 中型——3~6马力；
- (3) 小型——3马力以下。

可是回转型构造简单，制造容易，所以价格较低，故障较少。它能进行水田耕耘作业，也能完成一些中耕作业，所以比曲柄型和螺旋型普及，但其所需马力较大。一般两轮间的距离比回转锄的工作宽度大，为了避免漏耕，可将耕耘装置向侧方移动或增加辅助的回转锄齿。

2. 曲柄型耕耘机

在曲柄型耕耘机上，耕耘刀装在连接杆的前端，连接杆的另一端装在水平安置的曲柄上，连接杆的中间则与支持杆相连，由于支持杆的作用，曲柄运动时能使整个机构得到一定轨迹的运动，而使耕耘刀前端呈掘土状运动。

曲柄型与其他型式比较起来，所需马力最小，土的翻转比较好，缠草较少，耕后的痕迹较平整，这是一些优点。但缺点是构造稍复杂，重量大，振动激烈（因而故障多），耐久性差。再者这种型式的耕耘机不便于进行水田耕耘和运输作业，田间移动时的机动性也差。所以有减少使用的趋势。

3. 螺旋型

在螺旋型耕耘机上，装有二根或四根垂直的旋转轴，在轴的下端安装着螺旋状的刀齿，该轴以每分钟200~300转的转速旋转，而将土壤切碎。更改刀

齿的形状、间隔、螺旋的旋转速度和耕耘机的前进速度，可改变碎土程度。螺旋型所需动力在回转型和曲柄型之间，碎土比较细。但缠草稍多，不能将草埋在下面。另外不能象回转型和曲柄型那样，能利用耕耘装置工作时的反作用力来推动机器前进。更换螺旋刀齿后可在发动机功率的许用范围内进行深耕。过去螺旋型都用履带式，因价格和耐久性关系，现在已改用轮式了。

改为轮式的另一个重要原因是履带式不便进行水田耕耘作业。

二、园艺型拖拉机的特点

园艺型拖拉机能带各种作业机进行牵引作业，是一种通用拖拉机。其能带的主要作业机是洋犁、日本和犁、耙、旋转锄、水田耕耘器、施肥播种器、中耕器、切割器及拖车等。园艺型拖拉机有步行型的，也有乘用型的。步行型的皆用高速风冷发动机，乘用型的多用中速的风冷或水冷发动机。步行型的发动机功率为4~8马力，乘用型的则为6~10马力。

有一种步行型的园艺拖拉机能安装回转耕耘装置，这种拖拉机的构造和性能和驱动型耕耘机差不多相同，故称作“牵引-驱动兼用型”。

从前，在园艺型拖拉机上，发动机都是固定在机器前方的机架上的，最近为了使重心位置尽可能的低，而使操纵性能、稳定性和外观等更加良好，出现将拖拉机本体和发动机制成一整体的“一体型”。这种制成“一体型”的倾向在乘用型上尤多。

行走装置皆用农用胎轮，根据作业的种类和耕地的干湿程度，可换成各种铁轮。

三、中耕型拖拉机的特点

这种型式的拖拉机在轮轴的适当部分安装带齿滚筒，这种滚筒兼起耕耘和推进作用。或者说，这种

拖拉机象驱动型耕耘机去除车轮后的形状。^①

耕耘的方法如图5所示，拖拉机后面有阻力杆，将阻力杆压下时，阻力就增加，带齿滚筒滑转，机体下陷，可以进行耕耘作业。用手把将阻力杆提上时，阻力减少，机体浮起，耕耘负荷减少，而拖拉机的前进速度变快。

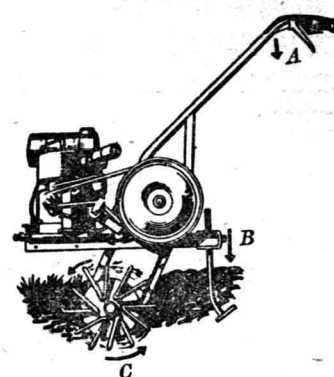


图5 中耕型拖拉机耕耘作业的工作原理图

中耕型①拖拉机的发动机多为3马力左右，皆为风冷高速发动机。这种拖拉机构造极简单，重量也轻（只有70~120公斤），操纵也容易。中耕型拖拉机由于重量轻，在相当湿的湿地上（牛马和驱动型耕耘机不能工作的地方）也能使用。因此说，中耕型给这种地区带来了农业技术革命并非过言。

中耕型后来经过改良，在旋转轴上装上了普通的行走车轮，在后面附装上各种作业机，能进行耕耘、耕翻、碎土、水田耕耘、中耕除草和运输等作业，通用性很高。这些作业中，水田耕耘作业较其他型式拖拉机为优，因此有的地区用其他型式拖拉机进行旱田耕耘和碎土作业，用中耕型进行水田耕耘作业。这种拖拉机带拖车进行运输作业也很好。（待续）

翁家昌节译自《机械化农业》1961年第9、

10、11、12期及1962年1、2、3、5期，高良润校

① 中耕型这个名词非常含糊，各人解释不同，作者认为中耕型的作业装置和行走装置是兼用的。因而具有变速装置和转向装置而机体重量在150公斤以上的已不是中耕型，而应当属于普通的手扶式拖拉机。

农业拖拉机的发展趋势

[英国] W. J. Foxwell, T. C. D. Manby

1960年按皮带轮功率划分的(不包括东欧国家在内)世界拖拉机年产量列在图1中。过去十年中,功率有着稳定的上升,而且这种趋势似乎还在继续。其中某些原因是:

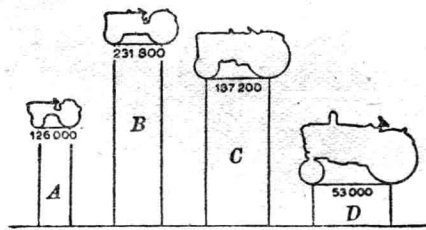


图1 1960年拖拉机生产量对比

A—低于 25 马力；B—26~24 马力；
C—41~55 马力；D—大于 56 马力

(1) 广泛采用了液力提升和悬挂农具。通过重量转移牵引效率提高了,同时由于采用了较大的农具(不增加拖拉机尺寸或重量),要求更大的功率;

(2) 由功率输出轴驱动的(大功率的)机械使用增加了;

(3) 功率较大的拖拉机有助于以机械来代替手工劳动。

与挥发油及汽油拖拉机相比,1951年时柴油拖拉机的销售量是很小的,但在目前却正好相反,仅在美国柴油拖拉机的销售量还较少*。今后对动力机的要求是:降低成本;提高实际输出功率;减轻工作噪音;使工作更加平稳以及提高使用寿命等。并应在相当长的时期内,保持柴油机在拖拉机上的应用占有优势。至于自由活塞式发动机、小功率的燃气轮机以及燃料电池,应在促使它们更有效地适用于拖拉机方面进行深入的研究。

图2列出某些不同农作业以及进行这些作业时的速度范围表。图中表明现代的通用型拖拉机,最少要采用六个速度的档位。为比较起见,在同一图中还列出了一台(六速传动系的)有代表性的现代拖拉机的行驶速度。

拖拉机上的液力系统,除了用于悬挂式农具的

提升以外,目前还用于转向加力、制动加力、差速锁、液力传动系以及许多远距传动的工作部件上。

拖拉机的布置应更多地考虑到驾驶员的安全,并应对拖拉机的操纵与座位的设计给予更大的重视。为达到上述要求,采取一些措施来实现标准化是必需的。拖拉机设计师应保证做到下列各项要求:

- (1) 空气滤清器的最大能力应满足发动机达到最高转速时的需要;
- (2) 蓄电池容量要保证发动机在低温下启动;
- (3) 燃料容量要能完成一天繁重工作;
- (4) 转向盘应操纵轻便,并能适用加力装置;
- (5) 离合器及制动器踏板作用要轻便,且对身材高度不同的驾驶员都易于接近;
- (6) 液力操纵及其他辅助踏板易于接近;
- (7) 舒适而便于调整的座位;
- (8) 有保护驾驶员的搁脚板与挡泥板;
- (9) 有完整的工具,使驾驶员能随时检查机油压力、冷却水温度、发动机转速以及行驶速度;
- (10) 散热器及风扇要能保证发动机在最热地区不沸腾,最冷地区不过冷;
- (11) 拖拉机外型。

燃料箱、散热器、发动机机油滤清器、蓄电池以及空气滤清器必须易于保养。由于底盘布置的调整,所以在变速器及后桥上的部件要重新布置,保证尽可能地妨碍工作人员。

今后对拖拉机的要求是:操纵更加安静与平稳;改善舒适性与对气候的防护;自动操纵;调节拖拉机的速度和农具的控制。当农具不需要经常停靠和调整时,那末就可以成功地进行一台或几台拖拉机的遥控。

此外,除了全部润滑点以外,传动系、转向系以及液力系应该是密封的。使农具能自动而迅速地挂接也是需要的。

在将来的发展中,在液体介质中损耗的功率比重愈大时,则使拖拉机内部的传动改用为液力马达

* 据 Anthony A. Albert 报导,美国在 1952 年时装上柴油机的轮式拖拉机只有 5.7%, 到 1961 年达 47.2%; 链轨式拖拉机装用柴油机的数量, 10 年内由 57% 增到 88% ——译者注。